

Rapport

Støyberegning for Ørsta-Volda lufthamn

For perioden 2015--2025

Forfatter(e)

Rolf Randeberg

Idar L. N. Granøien



SINTEF IKT

Akustikk

2016-07-12

Rapport

Støyberegning for Ørsta-Volda lufthamn

For perioden 2015--2025

EMNEORD:

RAPPORTNR
SINTEF A27787

VERSJON
1.0

DATO
2016-07-12

FORFATTER(E)
Rolf Randeberg
Idar L. N. Granøien

OPPDRAGSGIVER(E)
Avinor AS

OPPDRAGSGIVERS REF.
Inger Rudvin

ANTALL SIDER OG VEDLEGG:
22

GRADERING
Unrestricted

GRADERING DENNE SIDE
Unrestricted

ISBN
978-82-14-06130-7

SAMMENDRAG

Det er utarbeidet flystøysonekart for Ørsta-Volda lufthamn Hovden etter Miljøverndepartementets retningslinje T-1442/2012 og Forurensningsforskriften basert på registrert trafikk i 2015 og for en prognose for 2025. Beregning av støy er utført med NORTIM versjon 4.5 som tar hensyn til topografi ved beregning av lydutbredelse. Det er ingen bygninger med støyfølsomt bruksformål innenfor kartleggingsgrensen knyttet til forurensningsloven.

UTARBEIDET AV
Rolf Randeberg

KONTROLLERT AV
Herold Olsen

GODKJENT AV
Odd Pettersen

Dokumentet har gjennomgått SINTEFs godkjenningsprosedyre og er sikret digitalt

Innholdsfortegnelse

1	INNLEDNING	4
2	GENERELT OM FLYSTØY	5
2.1	Akustiske størrelser	5
2.2	Flystøyens egenskaper og virkninger	5
2.2.1	Søvnforstyrrelse som følge av flystøy	5
2.2.2	Generell plage av flystøy	6
3	MILJØVERNDEPARTEMENTETS RETNINGSLINJE	8
3.1	Måleenheter	8
3.2	Støysoner til arealplanlegging	8
3.2.1	Definisjon av støysoner	8
3.2.2	Utarbeidelse av støysonekart og implementering i kommunale planer	9
3.2.3	Kartlegging av stille områder	9
3.3	Beregningsmetode.....	9
3.3.1	Dimensjonering av trafikkgrunnet.....	10
3.3.2	Beregningsprogrammet NORTIM.....	10
4	KARTLEGGING I HENHOLD TIL FORSKRIFT TIL FORURENSNINGSLOVEN	11
4.1	Innendørs støy	11
4.1.1	Beregning med normtall for fasadedempning	11
4.1.2	Beregning med frekvensspekter	11
4.2	Strategisk støykartlegging.....	12
5	OMGIVELSER	13
5.1	Digitalt kartgrunnlag, topografi og rullebaner	13
6	FLYAKTIVITET PÅ ØRSTA-VOLDA LUFTHAMN	14
6.1	Trafikk ifølge tårnjournaler	14
6.2	Prognoser	14
7	FLYGEPROSEDYRER	15
7.1	Flygeprofiler	15
8	BEREGNINGSPARAMETERE	16
8.1	Beregningsenheter	16
8.2	Beregning i enkeltpunkter	16
8.3	NORTIM beregningskontroll	16

9	RESULTATER RELATERT TIL RETNINGSLINJE T-1442	17
9.1	Støysonekart	17
10	RESULTATER RELATERT TIL FORURENSINGSFORSKRIFTEN	19
11	LITTERATUR.....	21

1 INNLEDNING

Avinor AS har gitt SINTEF i oppdrag å foreta en støyutredning av Ørsta-Volda lufthavn Hovden for dagens trafikk og for en ti års prognose. Forrige beregning av støyforholdene ved lufthavnen ble utført av OSL AS i 2010 [1]. Grunnlaget for beregningen er loggført trafikk for 2015.

Prosjektansvarlig hos Avinor har vært Jan Øvstedal, med Inger Rudvin som kontaktperson. Prosjektet er utført ved SINTEF IKT med Idar L. N. Granøien som prosjektleder og Rolf Tore Randeberg som prosjektmedarbeider. Prosjektansvarlig i SINTEF IKT har vært Odd Kr. Ø. Pettersen.

Denne rapporten har et standard format med gjennomgang av grunnlagsmateriale for regelverket i Norge, presentasjon av beregningsprogrammet, beskrivelse av dataunderlaget og til slutt resultatene fra beregningene.

2 GENERELT OM FLYSTØY

Hensikten med dette kapitlet er å gi en forenklet innføring om hvordan flystøy virker på mennesker. Framstillingen baserer seg på anerkjent viten fra det internasjonale forskningsmiljøet. Relevante måleenheter presenteres først.

2.1 Akustiske størrelser

L_{ASmaks}	Det A-veide maksimumsnivået for en støyhendelse (f.eks. en landing) målt med tidskonstant "slow", 1 sek. I flystøysammenheng benyttes ofte den forenklete skrivemåten L_{maks} eller L_{max} , idet A-veiting og 1 sek integrasjonstid er underforstått.
L_{pA}	Momentant A-veid lydtryknivå
L_{den}	Tidsveid ekvivalentnivå med 5 dB tillegg for kveld (19–23) og 10 dB tillegg for natt (23–07). Størrelsen skal normalt beregnes som et gjennomsnitt for hele året. Dette er hovedindeksen i det norske støyregelverket, og indeksen som anbefales av EU for å beskrive vanlig samfunnsstøy. I løpende tekst benyttes også skrivemåten DENL.
L_{dn}	Tidsveid ekvivalentnivå med 10 dB tillegg for natt (22–07). Brukes internasjonalt på samme måte som DENL. I løpende tekst benyttes også skrivemåten DNL.
L_{Aeq}	A-veid ekvivalentnivå. Korrekt skrivemåte i henhold til ISO er L_{pAT} , der T angir midlingstiden, f.eks. døgn. I løpende tekst benyttes ofte L_{AEQ} eller bare LEQ
MFN_T	Statistisk representativt maksimum flystøynivå for en døgnperiode T. Denne benyttes for nattperioden (23-07). Krav til hyppighet er at maksimumsnivået må opptre minimum tre ganger per uke.

2.2 Flystøyens egenskaper og virkninger

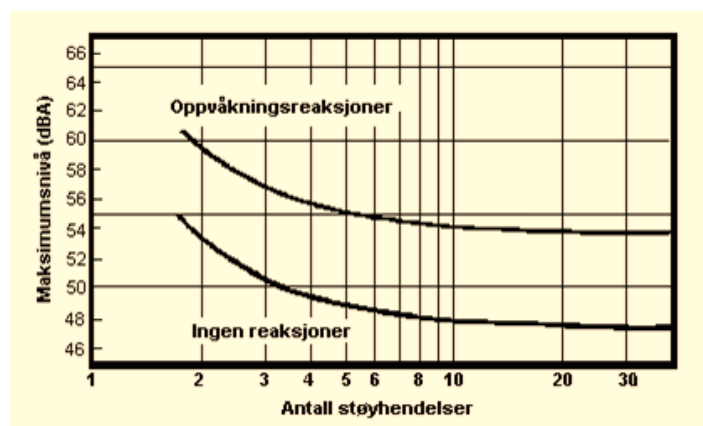
Flystøy har en del spesielle egenskaper som gjør den forskjellig fra andre typer trafikkstøy. Varigheten av en enkelt støyhendelse er forholdsvis lang, nivåvariasjonene fra gang til gang er gjerne store og støynivåene kan være kraftige. Det kan også være lange perioder med opphold mellom støyhendelsene. Flystøyens frekvensinnhold er slik at de største bidrag ligger i ørets mest følsomme område og det er lett å skille denne lyden ut fra annen bakgrunnsstøy; så lett at man ofte hører flystøy selv om selve støynivået ikke beveger seg over nivået på bakgrunnsstøyen. Flystøy har også et betydelig innslag av lavfrekvente komponenter som gjør at den lett trenger inn i bygninger.

De to viktigste typer ulemper forbundet med flystøy er forstyrrelse av søvn eller hvile og generell irritasjon eller plage. Det er viktig å merke seg at fare for hørselsskader med få unntak begrenser seg til de personer som jobber nær flyene på bakken.

2.2.1 Søvnforstyrrelse som følge av flystøy

Det har vært bred internasjonal enighet om at **vekking** som følge av flystøy kan medføre en risiko for helsevirkninger på lang sikt, se litteraturlisten ref. [2, 3]. Det er **ikke** samme enighet på hvorvidt **endring av søvnstadium** (søvn dybde) har noen negativ effekt alene, dersom dette ikke medfører vekking.

Risiko for vekking er avhengig av hvor høyt støynivå en utsettes for (maksimumsnivå) og hvor mange støyhendelser en utsettes for i løpet av natten. Det er normalt store individuelle variasjoner på når folk reagerer på støyen. Derfor brukes oftest en gitt sannsynlighet for at en andel av befolkningen vekkes for å illustrere hvilke støynivå og antall hendelser som kan medføre vekking, som illustrert i Figur 1-1.



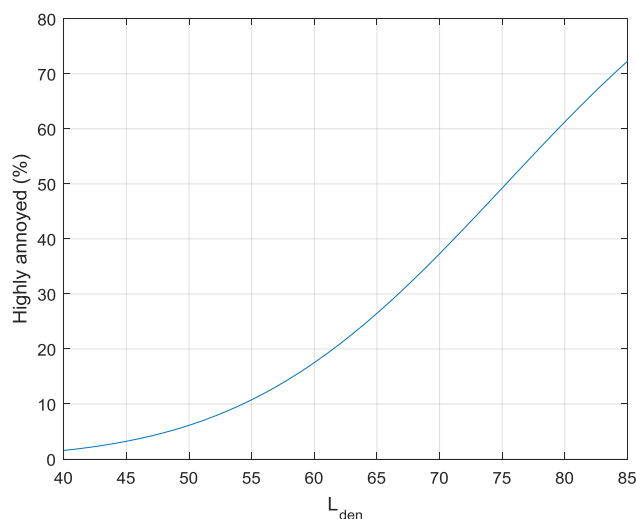
Figur 1-1. 10 % sannsynlighet for vekking resp. søvnstadiumsendring. Sammenheng mellom maksimum innendørs støynivå og antall hendelser [2].

Figuren viser at man tåler høyere støynivå uten å vekkes dersom støynivået opptrer sjelden. Når det blir mer enn ca. 15 støyhendelser i søvnperioden er ikke antallet så kritisk lenger. Da er det 10 % sjanse for vekking dersom nivåene overstiger 53 dB(A) i soverommet.

2.2.2 Generell plage av flystøy

Generell støypilg kan betraktes som en sammenfatning av de *ulemper* som en opplever at flystøyen medfører i den perioden man er våken. De mest vanlige beskrivelser er knyttet til *stress og irritasjon*, samt *forstyrrelser ved samtale og lytting* til TV/radio og musikk. Kartlegging av folks reaksjoner gjøres normalt gjennom spørreundersøkelser og man søker å finne resultater som er representative for gjennomsnittet av befolkningsgrupper. Slike undersøkelser har vært gjennomført i stor skala både internasjonalt og i Norge.

Sammenfatning av slike undersøkelser er også foretatt flere ganger og den mest omfattende og den som oftest refereres til er publisert av Miedema og Oudshorn, ref. [3]. Den vanligste parameteren som man rapporterer er hvor stor andel av befolkningen som sier seg svært plaget (highly annoyed) som funksjon av ekvivalent støynivå. Både L_{den} og L_{dn} er slike nivåstørrelser hvor det i tillegg gjøres en vektning av når på døgnet støyhendelsen forekommer. Den følgende figuren viser andel sterkt plaget som funksjon av L_{den} slik den er sammenfattet i [3].



Figur 1-2. Middelkurve for prosentvis antall sterkt plaget av flystøy som funksjon av ekvivalent støynivå utendørs [3].

Undersøkelsene rundt 1990 i Norge [4, 5] ble foretatt rundt Fornebu, Bodø og Værnes og inngår som en del av bakgrunns materialet i undersøkelsen til Miedema og Oudshorn. Resultatene herfra skiller seg ikke vesentlig ut fra middelkurven.

Senere undersøkelser i Norge [6] viser at for fire av fem undersøkte flyplasser så er reaksjonene lavere enn kurven i Figur 1-2, mens én av de fem viser sterkere reaksjoner. De fire med lavere respons er Bodø, Sola, Tromsø og Værnes, mens reaksjonene rundt Gardermoen skiller seg ut i motsatt retning. Årsaken til høyere respons her er antatt å være todelt; dels et vedvarende konfliktnivå mellom flyplass og naboer rundt Gardermoen, dels at tettere trafikk medfører færre stille perioder hvor man får tatt seg inn igjen.

3 MILJØVERNDEPARTEMENTETS RETNINGSLINJE

Miljøverndepartementet ga i juli 2012 ut retningslinje T-1442/2012 for behandling av støy fra forskjellige støykilder [7], som en videreføring av T-1442 fra 2005. Før dette var retningslinjen basert på måleenheter utviklet i Norge i starten av 1980-tallet. T-1442 må kunne sies å representere en tilpasning til EU sitt direktiv fra 2001 siden den legger L_{den} til grunn for beregning av ekvivalentnivå. Den har likevel definert et statistisk representativt maksimumsnivå som er ment benyttet for vurdering av støy på natt. For flystøy er denne betegnet L_{5AS} .

3.1 Måleenheter

L_{den} er det mål som EU har innført som en felles måleenhet for ekvivalentnivå. Måleenheten legger forskjellig vekt på en støyhendelse i forhold til når på døgnet hendelsen forekommer. På kveld legges det til 5 dB til den reelle støyen og på natt adderes 10 dB. Et tillegg på 5 dB på ekvivalentnivået tilsvarer at ett fly på kveld teller som drøyt tre på dagtid, mens ett fly på natt teller som ti på dag. T-1442/2012 følger den internasjonalt mest vanlige inndelingen av døgnet ved at dagtid er definert fra kl. 07 til 19, kveld er mellom kl. 19 og 23, mens natta strekker seg fra kl. 23 til 07.

Maksimumsnivået L_{5AS} er i [7] definert som det lydnivå "som overskrides av 5 % av hendelsene i løpet av en nærmere angitt periode, dvs. et statistisk maksimalnivå i forhold til antall hendelser". Denne enheten kommer bare til anvendelse for hendelser som forekommer på natt mellom 23 og 07, og var ment å skulle erstatte måleenheten MFN på natt. L_{5AS} vil imidlertid ikke identifisere de nivå som kan skape problem for søvnforstyrrelse relatert til Figur 1-1. Antallet "hendelser" vil kunne variere fra flyplass til flyplass og fra område til område ved en og samme flyplass. Når dimensjonerende nivå defineres til å være en prosent, vil man derfor ikke uten videre vite hvor mange hendelser dette representerer.

Retningslinje T-1442/2012 definerer ikke begrepet "hendelse". Det betyr at det ikke er gitt hvor mye støy som skal til for at man skal inkludere noe som en hendelse. I veilederen til T-1442/2012 [8] er det angitt at L_{5AS} beregnes som MFN_{23-07} .

3.2 Støysoner til arealplanlegging

T-1442/2012 definerer to støysoner, gul og rød sone, til bruk i arealplanlegging. I tillegg benyttes betegnelsen *hvit sone* om området utenfor støysonene. Kommunene anbefales også å etablere *grønne soner* på sine kart for å markere *stille områder som etter kommunens vurdering er viktige for natur- og friluftsinnteresser*. Hvit og grønn sone skal med andre ord ikke betraktes som støysoner.

3.2.1 Definisjon av støysoner

Støysonene ble definert slik at det i ytterkant av gul sone kan forventes at inntil 10 % av en gjennomsnitts befolkning vil føle seg svært plaget av støyen. Det betyr at det vil være folk som er plaget av støy også utenfor støysonene.

De to støysonene er i retningslinjen definert som vist i den følgende tabell. Det fremgår at hver sone defineres med to kriterier. Hvis ett av kriteriene er oppfylt på et sted, så faller stedet innenfor den aktuelle sonen – det er med andre ord et "eller" mellom kolonnene.

Tabell 3-1. Kriterier for soneinndeling. Ytre grense i dB, frittfeltsverdier.

Støykilde	Støysone			
	Gul sone		Rød sone	
	Utendørs støynivå	Utendørs støynivå i nattperioden kl. 23 – 07	Utendørs støynivå	Utendørs støynivå i nattperioden kl. 23 – 07
Flyplass	L_{den} 52 dB	L_{5AS} 80 dB	L_{den} 62 dB	L_{5AS} 90 dB

3.2.2 Utarbeidelse av støysonekart og implementering i kommunale planer

Ansvar for utarbeidelse av kart som viser støysonene legges til tiltakshaver ved nye anlegg, mens anleggseier eller driver har ansvar for eksisterende anlegg. De ansvarlige oversender kartene til kommunen og har også et ansvar for å oppdatere kartene dersom det skjer vesentlige endringer i støysituasjonen. Normalt skal kartene vurderes hvert 4.–5. år.

Det skal utarbeides støysonekart for dagens situasjon og aktivitetsnivå og en prognose 10–20 år fram i tid. Kartet som oversendes kommunen skal settes sammen som en verste situasjon av de to beregningsalternativene.

Kommunene skal inkludere og synliggjøre støysonekartene i sine arealplaner. Retningslinjen har flere forslag til hvordan dette kan gjøres. For varige støykilder er det foreslått å legge sonene inn på selve kommuneplankartet som støybetinget restriksjonsområde. Det anbefales at kommunene tar inn bestemmelser tilknyttet arealutnyttelse innenfor støysonene og at det skal stilles krav til reguleringsplan for all utbygging av støyømfintlig bebyggelse innenfor rød og gul sone.

Følgende regler for arealutnyttelse er angitt i retningslinjen:

- **rød sone**, nærmest støykilden, angir et område som ikke er egnet til støyfølsomme bruksformål, og etablering av ny støyfølsom bebyggelse skal unngås.
- **gul sone** er en vurderingssone, hvor støyfølsom bebyggelse kan oppføres dersom avbøtende tiltak gir tilfredsstillende støyforhold.

3.2.3 Kartlegging av stille områder

Kartlegging av stille områder er omtalt i et eget kapittel i retningslinjen. Kommunene anbefales å synliggjøre avgrensede områder som er viktige for rekreasjonsaktivitet i sine arealplaner som grønne soner. I tettbebyggelse defineres stille områder som eksempelvis parker, kirkegårder, skog som har et støynivå som er under L_{den} på 50 dBA. Utenfor tettbebygde strøk settes nivågrensen til 40 dBA.

3.3 Beregningsmetode

Vurdering av flystøy etter Miljøverndepartementets retningslinjer gjøres kun mot støysonegrenser som er beregnet, dvs. at man ikke benytter målinger lokalt for å fastsette hvor grensene skal gå. Den beregningsmodellen som benyttes i Norge (se avsnitt 3.3.2), er imidlertid basert på en database som representerer en sammenfatning av et omfattende antall målinger. Skulle beregningene vært erstattet med målinger, så måtte det gjøres meget lange måleserier for å oppnå samme presisjonsnivå som det beregningsprogrammet gir.

Målinger kan nyttes som korrigerende supplement ved kompliserte utbredelsesforhold, ved spesielle flygeprosedyrer, eller når beregningsprogrammet eller dets database er utilstrekkelig.

3.3.1 Dimensjonering av trafikkgrunnlaget

Veilederen til T-1442/2012 legger seg opp til reglene fra EU direktiv 2002/49/EC¹ om at det skal benyttes et årsmiddel av trafikken. Det betyr at støysoner skal representere et middeldøgn for hele året. Dersom trafikken er sterkt sesongpreget (turisttrafikk) brukes gjennomsnitt av de tre måneder (på sommeren) som har mest trafikk.

Militære øvelser som forekommer minst annethvert år, skal inngå i trafikkgrunnlaget.

3.3.2 Beregningsprogrammet NORTIM

Fra 1995 beregnes flystøy i Norge med det norskutviklede dataprogrammet NORTIM [9, 10] eller spesialutgaver av dette (REGTIM og RADTIM). Programmene er utviklet av SINTEF for de norske luftfartsmyndighetene. Det unike med NORTIM er at det tar hensyn til topografiens påvirkning av lydutbredelse, samt lydutbredelse over akustisk reflekterende flater.

NORTIM beregner i en og samme operasjon de aktuelle måleenheter som er foreskrevet i retningslinjen L_{den} og MFN_{23-07} (som erstatning for L_{5AS}). Andre støymål som beregnes er blant annet ekvivalentnivået, L_{Aeq} , for hvert døgnssegment i det dimensjonerende middeldøgn. Beregningsresultatene fremkommer som støykurver (sonegrenser) som kan tegnes i ønsket målestokk eller i tabellariske oversikter. Alle resultatene leveres på SOSI filformat.

NORTIM programmene ble i 2002 endret ved at nye algoritmer for beregning av bakkedemping og direktivitet [11] ble tatt i bruk. Årsaken var at den moderne flyparken har andre karakteristika enn de som ble benyttet da de grunnleggende rutiner ble utviklet sent på 1970-tallet. De gamle rutiner var utelukkende empirisk utviklet, mens de nye er en blanding av empiri og teori. Bakkedemping er basert på en teoretisk modell [12], mens direktivitet er basert på måleserier på Gardermoen i 2001 [13] og således empiriske. Etter endringene viser sammenligninger av lang tids målinger og beregninger for tilsvarende trafikk et avvik på i gjennomsnitt under 0.5 dB [11].

Beregningsprogrammet inneholder en database for over 300 ulike flytyper. Databasen er importert fra internasjonalt tilgjengelige kilder, i hovedsak fra USA, AEDT [14] og NOISEMAP [15] og med korrigerede støydata for to flyfamilier [11]. I tillegg benyttes data fra målinger foretatt av OSL for de to mest benyttede offshore helikoptre [16] og data fra fabrikk for det nye redningshelikopteret [17].

Ved bruk av en liste over substitutter for flytyper som ikke inngår i databasen, kan det beregnes støy fra omlag 650 forskjellige typer fly. I tillegg er det mulig å legge inn brukerdefinerte data for fly- og helikoptertyper som ikke er definert i databasen. I slike situasjoner hentes data fra andre anerkjente kilder eller egne målinger.

¹ EU Directive 2002/49/EC Assessment and management of environmental noise.

4 KARTLEGGING I HENHOLD TIL FORSKRIFT TIL FORURENSNINGSLOVEN

Forskrift om grenseverdier for lokal luftforurensning og støy ble første gitt ved kongelig resolusjon 30. mai 1997, med virkning fra 1. juli samme år. Forskriften er hjemlet i forurensningsloven, ble senest revidert i 2004 [18], og omtales som forurensningsforskriften.

4.1 Innendørs støy

Forurensningsforskriften fastsetter grenseverdier som skal utløse kartlegging og utredning av tiltak mot støy. Kartleggingsgrensen er satt til døgnkvivalent nivå ($L_{Aeq,24h}$) på 35 dBA innendørs når bare en støytype dominerer. Dersom flere likeverdige kilder er til stede, senkes kartleggingsgrensen for hver støykilde med 3 dB til 32 dBA.

4.1.1 Beregning med normtall for fasadedempning

Flystøy beregnes primært for utendørs nivå. Det må derfor gjøres forutsetninger om hvor stor støyisolasjon (demping) husets fasader medfører for å kunne gjøre resultatene om til innendørsnivå. Fasadeisolasjon varierer med frekvensinnhold i støyen. Lave frekvenser (basslyder) går lettere gjennom, mens høye frekvenser (diskant) dempes bedre. Ettersom frekvensinnhold er forskjellig fra flytype til flytype, vil støy fra disse ha ulik støydemping gjennom en fasade. Basert på Norges Byggforskningsinstitutt utredning om fasadeisolasjon [19], som er revidert av Brekke og Strand [20], er det valgt tre forskjellige normtall for fasadeisolasjon avhengig av hvilke flytyper som er støymessig dominant på hver flyplass. Grenseverdi for kartlegging baseres på hustyper ført opp i 1970 eller senere. Ut fra dette gjelder følgende grenseverdier for beregnet utendørs døgnkvivalent nivå ($L_{Aeq,24h}$):

Tabell 4-1. Kartleggingsgrenser i henhold til forurensningsloven.

Flyplasstype	Støymessig dominerende flytype	Minimum fasadeisolasjon i vanlig bebyggelse	Kartleggingsgrense relativt til frittfeltsnivå
Regionale flyplasser	Propellfly	19 dBA	54 dBA (35+19)
Stamruteplasser / militære flyplasser	Jagerfly	25 dBA	60 dBA (35+25)
Stamruteplasser	Støysvake jetfly	27 dBA	62 dBA (35+27)

Beregninger foretatt for offshore helikopter i den reviderte rapporten [20] viser tilsvarende fasadeisolasjon på minimum 23 dBA for bygningstyper oppført etter 1970. Målinger utført på bygninger rundt de to største offshorebasene har således vist eksempler på at fasadeisolasjon mot denne typen trafikk kan ligge i størrelsesorden 26 dBA [21].

Tiltak på bygninger skal gjøres dersom innendørs støynivå overstiger 42 dBA døgnkvivalent nivå. En tentativ tiltaksgrense vil derfor ligge 7 dB over den kartleggingsgrense som for hvert tilfelle framkommer av tabellen over.

4.1.2 Beregning med frekvensspekter

I enkelte tilfeller med blandet trafikk med ulikt frekvensinnhold kan metoden beskrevet i forrige avsnitt være noe upresis. Det er derfor utviklet en forbedret metode hvor det beregnes et anslag av *innendørs støynivå*, som kan sammenholdes direkte med kartleggingsgrensene og den tentative tiltaksgrensen. Metoden tar hensyn til frekvensinnholdet i hver enkelt flygning. Effektene av kunstige og naturlige skjærmer beregnes for hver enkelt frekvens. Ved beregning av innendørs nivå benyttes to ulike reduksjonsspekter for fasaden, for Hustype II og IV i ref. [20]. Førstnevnte representerer hus bygget rundt 1970-1980 med isolert tak og kaldt loft, og benyttes i de aller fleste tilfeller. Hustype IV representerer boligblokker, og benyttes for

bygningstyper hvor vegger typisk er murt eller støpt. På grunn av disse forenklingene vil det beregnede innendørsnivået *ikke* kunne erstatte en faglig utredning som tar hensyn til den aktuelle bygningskonstruksjonen i hvert enkelt tilfelle.

4.2 Strategisk støykartlegging

Strategisk støykartlegging gjennomføres for å tilfredsstille EU direktiv 2002/49/EC, befolkningens behov for informasjon og som grunnlag for handlingsplaner. Forskriften gir i vedlegg minstekrav til hva som skal beregnes og rapporteres. Denne del av kartleggingen gjelder for utendørs nivå og det er krav til flere støykart, samt opptelling av antall boliger og andre bygninger med støyømfintlig bruksområde innenfor intervaller av støy nivå for både L_{den} og L_{night} .

Strategisk støykartlegging skal utføres på flyplasser med mer enn 50 000 sivile bevegelser per år. I dette tallet inngår ikke militær trafikk eller skoleflyging, men denne trafikken skal likevel regnes med når kartleggingen foretas.

5 OMGIVELSER

5.1 Digitalt kartgrunnlag, topografi og rullebaner

Digitalt kartgrunnlag og topografi er hentet fra Kartverket sine gratis tjenester [22]. Topografien er representert med en punktetthet på 10×10 meter.



Figur 5-1. Ørsta-Volda lufthavn Hovden med omgivelser. Rullebanen (terskel til terskel) er markert med rosa. M 1: 75 000.

6 FLYAKTIVITET PÅ ØRSTA-VOLDA LUFTHAMN

I henhold til retningslinje T-1442 skal det benyttes trafikk for et helt år som grunnlag for beregningen av støysonene. I dette tilfellet er trafikken for 2015 benyttet som utgangspunkt for beregningene.

6.1 Trafikk ifølge tårnjournaler

Avinor har oversendt elektronisk journal for lufthavnen for 2015. Tabellene under viser en oversikt over trafikkmengdene i grunnlaget. Av tekniske årsaker legges de 765 landingsrundene i grunnlaget inn med én avgang og én landing per landingsrunde.

Tabell 6.1. Totalt antall landinger (LA) og avganger (TO) i 2015.

TO_LA	SumOper
LA	3953
TO	3942

Tabell 6.2. Flybevegelser i 2015 fordelt på type flygning, oppdragets art.

FLT	Type flygning	SumOper
1	Ruteflygning	4894
2	Ikke regelbundet trafikk	9
5	Annen kommersiell helikopterflygning	80
6	Annen kommersiell flygning	57
11	Ettersøkning- og redningstjeneste	3
12	Ambulanseflygning	338
13	Skole- og instruksjonsflygning	1175
14	Posisjonsflygning	26
15	Teknisk retur flygning	2
16	Kontrollflygninger	6
17	Allmenn flygning	1302
22	Ambulanseflygning med militært luftfartøy	3

6.2 Prognoser

Flystøy beregnes normalt for en ti års prognose. Basert på Avinors prognose ("høyt alternativ") for Ørsta-Volda lufthavn for 2025 er det for rute-, charter- og posisjonsflygning beregnet en vekst på 13,5 % i forhold til dagens trafikkmengde (2015).

For de andre typer flygning er det antatt samme mengde trafikk i prognosen som for dagens situasjon.

7 FLYGEPROSEDYRER

Både for landinger og avganger lages det to eller fire traséer per flytypekategori, én eller to for hver rullebaneretning. For Widerøes ruteflygninger er det i ref. [23] angitt at 90 % av landingene skjer på bane 06, og 90 % av avgangene bruker bane 24. Denne fordelingen er antatt å gjelde også for ambulansefly. For småfly og helikopter er det antatt en 50/50 fordeling på rullebanene.

Hver trasé representeres med én sentertrasé som er den mest sannsynlige, og seks omkringliggende spredetraséer som gjenspeiler forventet statistisk avvik fra sentertraséen. Dette er i henhold til internasjonal anbefaling [24]. For Widerøes ruteflygninger er det lagt til grunn Widerøes egne inn- og utflygingstraséer, som vist i Figur 7-1. For annen trafikk er traséene basert på AIP Norway [25].



Figur 7-1. Traséer for innflyging (blå) og utflyging (rød) for ruteflyging. M 1: 50 000.

7.1 Flygeprofiler

Hver flytype er i databasen utstyrt med høydeprofiler med motorpådrag, høyde og hastighet som funksjon av distanse fra start på rullebanen (for landinger: avstand til overflyvet terskelpunkt). De fleste flytyper har avgangsprofiler for flere avgangsvekter, som velges avhengig av hvor langt det er til destinasjon.

Landinger er lagt inn med 3° glidebane.

8 BEREGNINGSPARAMETERE

8.1 Beregningsenheter

Det beregnes for alle enheter som er relatert til retningslinje T-1442 og forurensningsforskriften.

8.2 Beregning i enkeltpunkter

Det gjøres punktregninger i koordinatpunktene for alle støyømfintlige bygninger innenfor beregningsområdet. Bygningsdata fra Norges Eiendommer er importert pr 2016-05-23.

8.3 NORTIM beregningskontroll

Grunnlagsberegningene for T-1442 og kartlegging etter forurensningsforskriften foretas med en oppløsning på 128 fot (39 meter) mellom hvert punkt med mottakerhøyde 4 meter over bakken. For alle beregningene tas det hensyn til topografien.

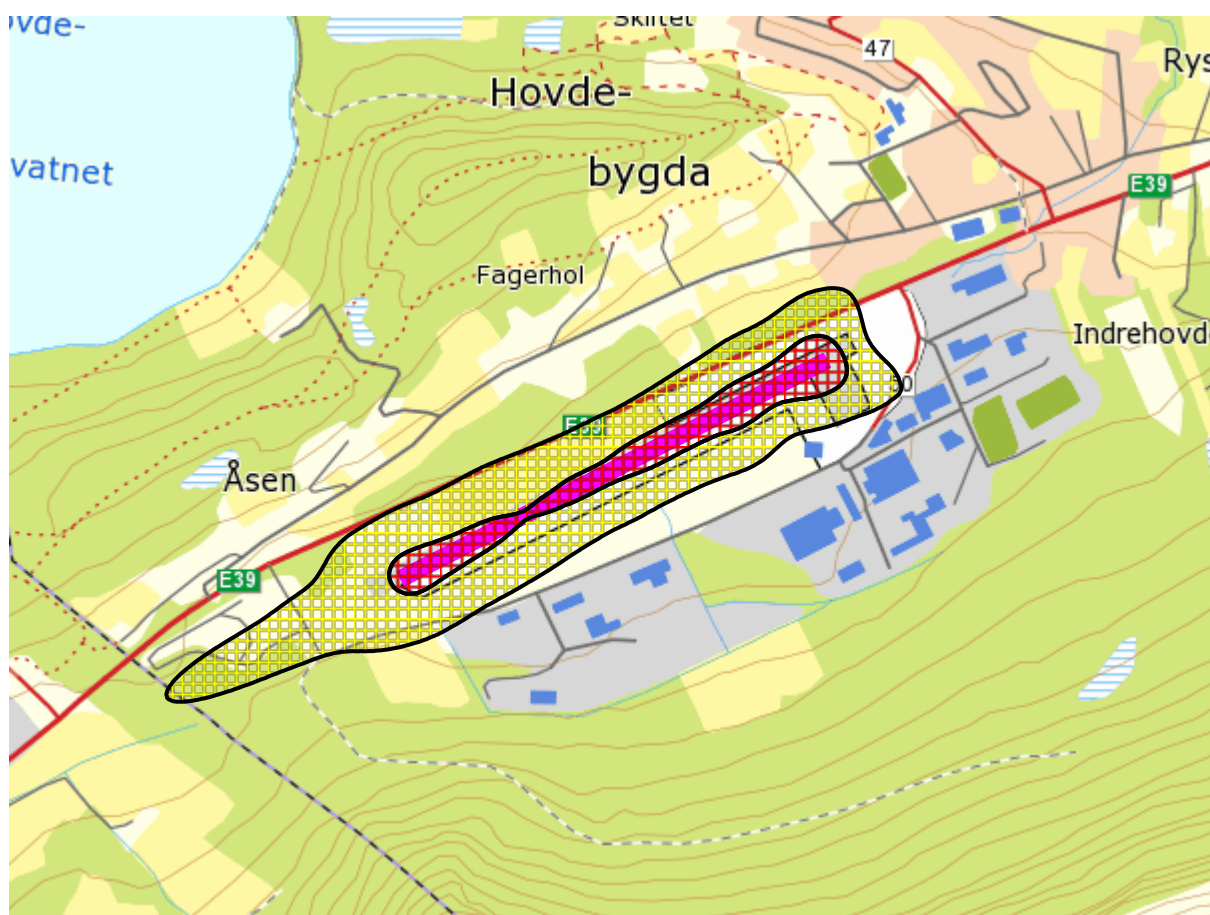
9 RESULTATER RELATERT TIL RETNINGSLINJE T-1442

9.1 Støysonekart

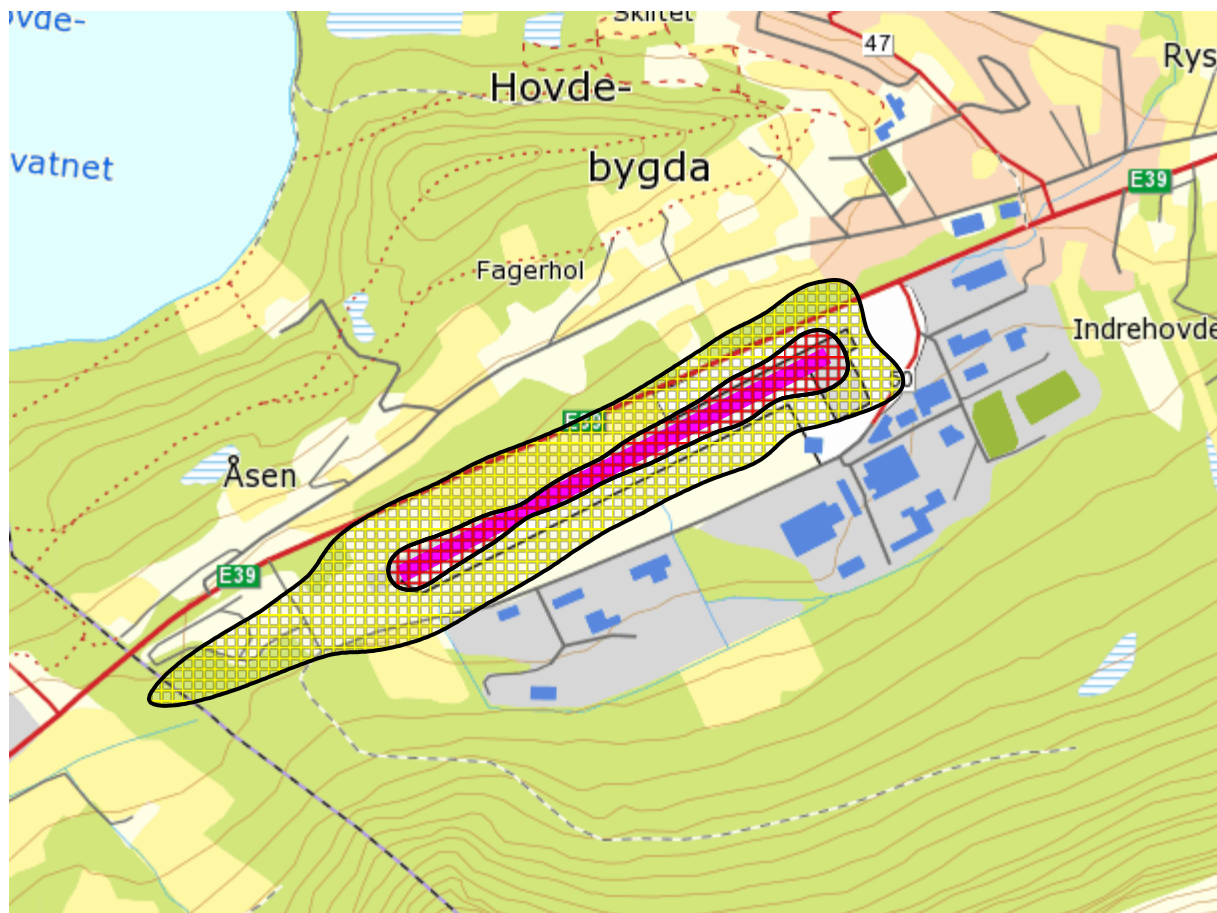
Støysonekart for dagens situasjon og prognosen er vist under. Beregningene som er gjort inneholder også resultater for andre enheter for støynivå. Disse foreligger på SOSI filformat og kan leveres oppdragsgiver på elektronisk form. De er ikke vist her av plasshensyn og ut fra ønske om å begrense omfanget av resultatfigurer.

Tabell 9-1. Areal innenfor støysoner for de to scenarier.

Støysone	Areal (da)	
	Dagens situasjon 2015	Prognosesituasjon 2025
Rød	65	68
Gul	257	274



Figur 9-1. Støysoner for dagens situasjon (2015). M 1:15 000.



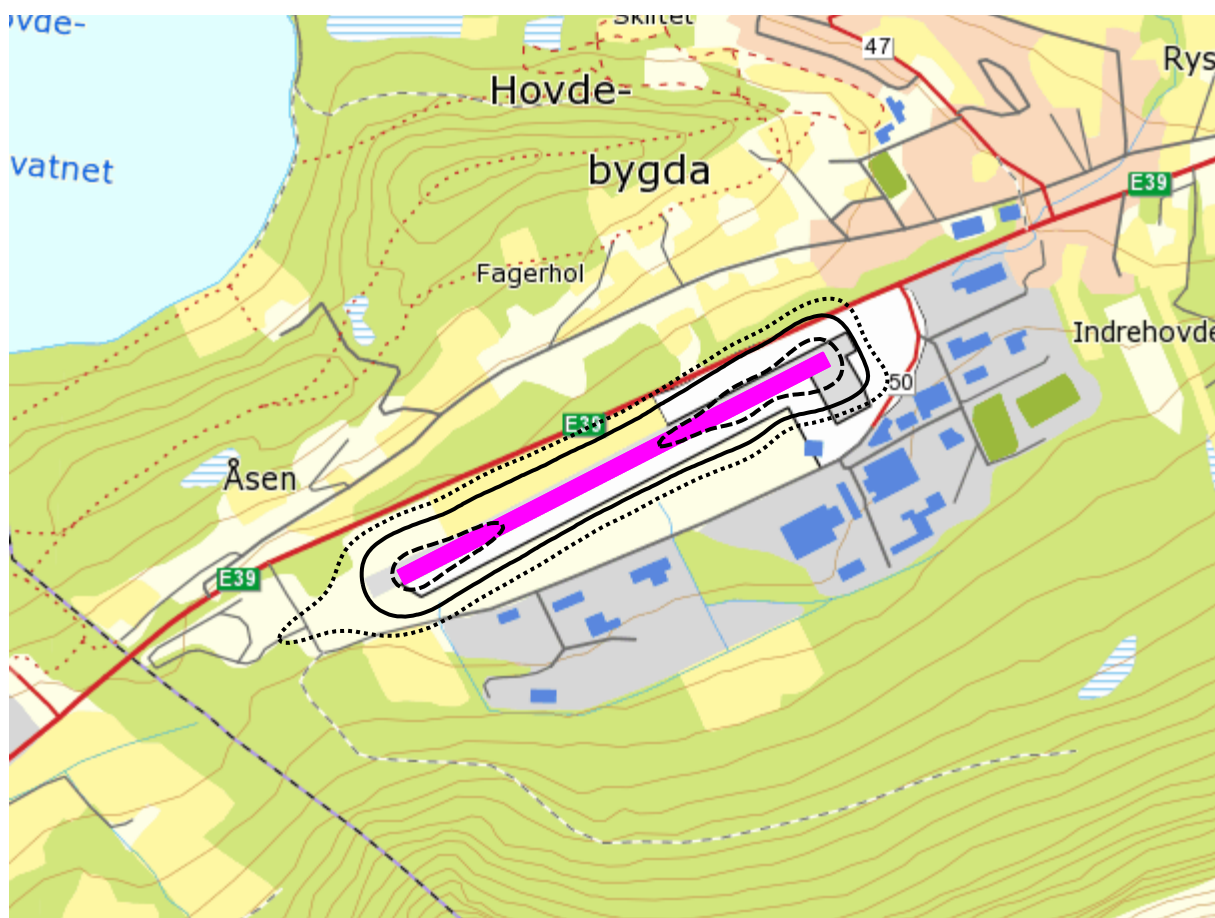
Figur 9-2. Støysoner for prognosesituasjonen (2025). M 1:15 000.

I begge situasjonene er gul sone gitt av L_{den} alene. Rød sone har små bidrag fra L_{5AS} .

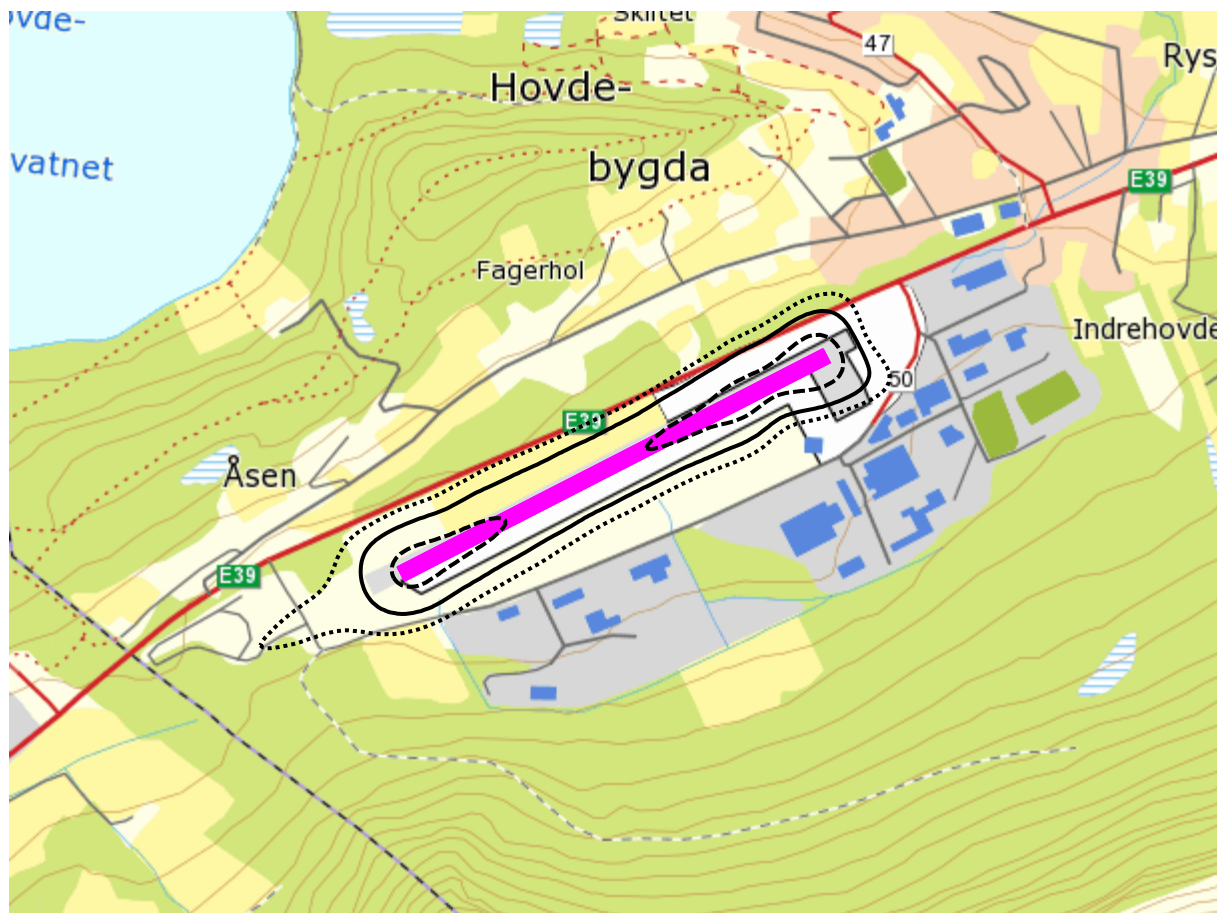
Retningslinje T-1442/2012 angir at støysonene som skal oversendes kommunen skal settes sammen som en "verste-tilfelle-kombinasjon" av de to situasjonene. Her tilsvarer dette prognosesituasjonen. Figur 9-2 viser derfor gul og rød støyzone for Ørsta Volda lufthavn, Hovden.

10 RESULTATER RELATERT TIL FORURENSINGSFORSKRIFTEN

I dette kapitlet vises normalt beregningsresultater relatert til Forurensningsloven i form av tabeller med antall berørte støyømfintlige bygninger. I henhold til Tabell 4-1 er kartleggingsgrensen for Ørsta-Volda lufthavn for flystøy og helikopterstøy på L_{Aeq24h} 54 dBA utendørs frittfeltnivå. Det korresponderer med en reduksjon på 19 dBA i fasader relativt til frittfeltnivå og gir 35 dBA innendørs nivå. Tentativ tiltaksgrense på innendørs nivå 42 dBA gir et tilsvarende frittfeltnivå på 61 dBA utendørs. I tilfeller hvor det er andre støykilder som bidrar like mye som flytrafikken (som f.eks. en veg), så skal kartleggingsgrensen flyttes 3 dB lenger ut, dvs. til 51 dBA.



Figur 10-1. Tentativ tiltaksgrense (stiplet), kartleggingsgrense (heltrukken), samt kartleggingsgrense hvor annen støy bidrar like mye (prikket); L_{Aeq24h} 61, 54 og 51 dBA, for dagens situasjon (2015). M 1:15 000.



Figur 10-2. Tentativ tiltaksgrense (stiplet), kartleggingsgrense (heltrukken), samt kartleggingsgrense hvor annen støy bidrar like mye (prikket); L_{Aeq24h} 61, 54 og 51 dBA, for prognosesituasjonen (2025). M 1:15 000.

Verken for dagens situasjon eller prognosen er det noen støyømfintlige bygninger innenfor disse grensene.

11 LITTERATUR

- [1] OSL, "Ørsta-Volda lufthamn, Hovden," OSL AS OSLAS-AN-RA-0268-E02, 2010-07-01 2010.
- [2] B. Griefahn, "MODELS TO DETERMINE CRITICAL LOADS FOR NOCTURNAL NOISE," in *Proceedings of the 6th International Congress on Noise as a Public Health Problem*, Nice, Frankrike, juli 1993.
- [3] H. M. E. Miedama and C. G. Oudshorn, "Annoyance from transportation noise: relationships with exposure metrics DNL and DENL and their confidence intervals.," *Environmental health perspectives*, vol. 109, pp. 409-416, 2001.
- [4] T. Gjestland, K. H. Liasjø, I. L. N. Granøien, and J. M. Fields, "RESPONSE TO NOISE AROUND OSLO AIRPORT FORNEBU," ELAB-RUNIT Report STF40 A90189, Trondheim, november 1990.
- [5] T. Gjestland, K. H. Liasjø, and I. L. N. Granøien, "RESPONSE TO NOISE AROUND VÆRNES AND BODØ AIRPORTS.," SINTEF DELAB Report STF40 A94095, Trondheim, august 1994.
- [6] F. Gelderblom, T. Gjestland, and I. L. N. Granøien, "UNDERSØKELSE AV STØYPLAGE VED NORSKE FLYPLASSER," Trondheim SINTEF A27596, Mars 2016 2016.
- [7] Miljøverndepartementet, "RETNINGSLINJE FOR BEHANDLING AV STØY I AREALPLANLEGGING," Retningslinje T-1442/2012, Oslo, juli 2012.
- [8] Miljødirektoratet, "VEILEDER TIL RETNINGSLINJE FOR BEHANDLING AV STØY I AREALPLANLEGGING (T-1442/2012)," Veileder M-128, Oslo, februar 2014.
- [9] H. Olsen, K. H. Liasjø, and I. L. N. Granøien, "TOPOGRAPHY INFLUENCE ON AIRCRAFT NOISE PROPAGATION, AS IMPLEMENTED IN THE NORWEGIAN PREDICTION MODEL – NORTIM," SINTEF DELAB Report STF40 A95038, Trondheim, april 1995.
- [10] R. T. Randeberg, H. Olsen, and I. L. N. Granøien, "NORTIM VERSION 3.3. USER INTERFACE DOCUMENTATION," Report SINTEF A1683, Trondheim, juni 2007.
- [11] I. L. N. Granøien, R. T. Randeberg, and H. Olsen, "CORRECTIVE MEASURES FOR THE AIRCRAFT NOISE MODELS NORTIM AND GMTIM: 1) DEVELOPMENT OF NEW ALGORITHMS FOR GROUND ATTENUATION AND ENGINE INSTALLATION EFFECTS. 2) NEW NOISE DATA FOR TWO AIRCRAFT FAMILIES," SINTEF Report STF40 A02065, Trondheim, desember 2002.
- [12] B. Plovings and J. Kragh, "COMPREHENSIVE OUTDOOR SOUND PROPAGATION MODEL," Nord2000 DELTA Report, Lyngby, desember 2000.
- [13] S. Å. Storeheier, R. T. Randeberg, I. L. N. Granøien, H. Olsen, and A. Ustad, "AIRCRAFT NOISE MEASUREMENTS AT GARDERMOEN AIRPORT, 2001. Part 1: SUMMARY OF RESULTS," SINTEF Report STF40 A02032, Trondheim, mars 2002.
- [14] J. Koopmann, A. Zubrow, A. Hansen, S. Hwang, and M. Ahearn, "Aviation Environmental Design Tool (AEDT) 2b User Guide," U.S. Department of Transportation, Volpe National Transportation Systems Center, Washington DC, USA2015.
- [15] W. R. Lundberg, "BASEOPS DEFAULT PROFILES FOR TRANSIENT MILITARY AIRCRAFT," AAMRL-TR-90-028, Harry G. Armstrong, Aerospace Medical Research Laboratory, Wright-Patterson AFB, Ohio, februar 1990.
- [16] OSL, "Noise Measurements on EC 225 and S 92 helicopters for development of NPD-data," August 2015 August 2015.
- [17] AgustaWestland, "AW101-612 External Noise Data for NAW SARH Environmental Impact Studies," October 2014
- [18] Miljøverndepartementet, "FORSKRIFT OM BEGRENSNING AV FORURENSNING (FORURENSNINGSFORSKRIFTEN)," Forskrift FOR-2004-06-01-931 (Del 2, kapittel 5), Oslo, juni 2004.
- [19] A. Brekke, "NYE RETNINGSLINJER FOR FLYSTØY. KONSEKVENSER VEDRØRENDE STØYISOLERING AV BOLIGER I STØYSONE I OG II," Norges byggforskningsinstitutt rapport 7939, revidert utgave, Oslo, juni 1998.

- [20] A. Brekke, "ISOLERING MOT STØY FRÅ HELIKOPTER OG ULIKE FLYTYPER. ENTALLSVERDIER FOR STØYISOLERING FOR ULIKE BOLIGTYPER.," Notat fra Brekke og Strand til OSL AS, Aku 01 C, oktober 2013.
- [21] E. Osmundsen, "MÅLING AV FASADEISOLERING OG BEREKNING AV INNENDØRS STØYNIVÅ VED STAVANGER LUFTHAVN, SOLA," Miljøakustikk AS2011.
- [22] U. Digital terrengmodell 10 m. © *Kartverket*. Available: <http://www.statkart.no/Kart/Gratis-kartdata/>
- [23] Avinor, "Risikoanalyse i tilknytning til hindersituasjonen ved Ørsta Volda lufthavn, Hovden," 2005-10-17 2005.
- [24] "REPORT ON STANDARD METHOD OF COMPUTING NOISE CONTOURS AROUND CIVIL AIRPORTS," in *European Civil Aviation Conference*, Strasbourg, desember 2005.
- [25] Avinor. (2016). *AIP Norway*.



Teknologi for et bedre samfunn

www.sintef.no